

### 3. Flügel endlicher Länge

---

- Reduzierte Frequenz:
  - Beim Flügel endlicher Länge wird als Referenzlänge  $c_{ref}$  zur Definition der reduzierten Frequenz in der Regel die Profiltiefe an der Flügelwurzel gewählt.

## 3. Flügel endlicher Länge

---

3.1 Instationäres Wirbelgitterverfahren

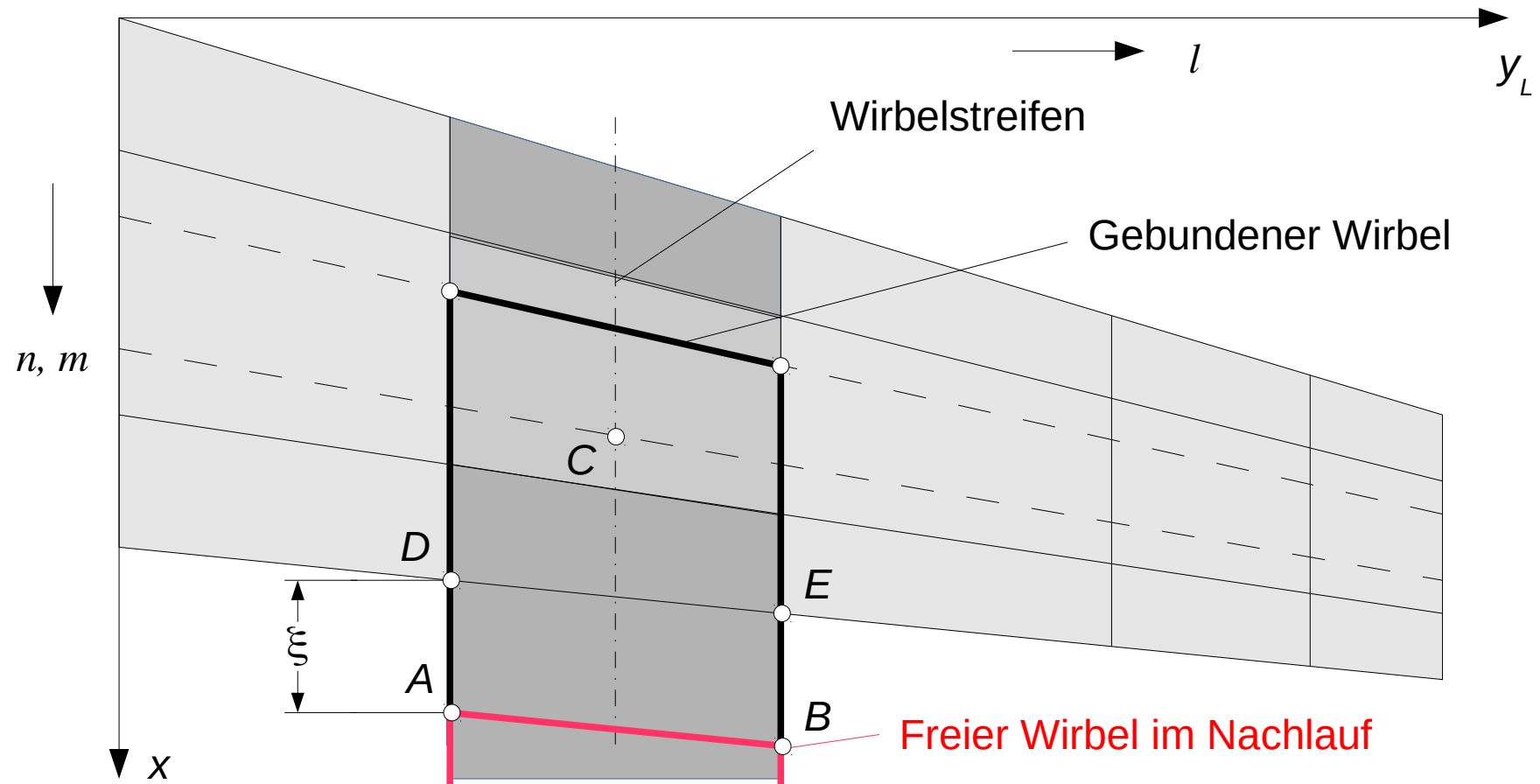
3.2 Dipolgitterverfahren

## 3.1 Instationäres Wirbelgitterverfahren

---

- Methode:
  - Wie im stationären Fall lässt sich die Methode der diskreten Wirbel zu einem Wirbelgitterverfahren für die Berechnung von Flügeln endlicher Länge erweitern.
  - Zusätzlich zu den gebundenen Hufeisenwirbeln müssen im Nachlauf Hufeisenwirbel angeordnet werden.

# 3.1 Instationäres Wirbelgitterverfahren



## 3.1 Instationäres Wirbelgitterverfahren

---

- Ermittlung der Wirbelstärken:
  - An den Kontrollpunkten muss gelten:

$$\sum_{n=1}^N C_{mn} \frac{\hat{\Gamma}_n}{v_\infty} - 2ik \sum_{l=1}^S C_{ml}^W \frac{\hat{\Gamma}_l^W}{v_\infty} = \frac{\mathbf{W}_m \cdot \mathbf{n}_m}{v_\infty}, \quad m=1, \dots, N$$

- Dazu kommt die Bedingung für die Nachlaufwirbel:

$$\sum_{\mu=1}^{N_l} \hat{\Gamma}_\mu - \hat{\Gamma}_l^W = 0$$

- Dabei ist  $N$  die Anzahl der Wirbeltrapeze,  $S$  die Anzahl der Wirbelstreifen und  $N_l$  die Anzahl der Wirbeltrapeze im  $l$ -ten Wirbelstreifen.

## 3.1 Instationäres Wirbelgitterverfahren

---

- Die Koeffizienten  $C_{mn}$  stimmen mit denen des stationären Wirbelgitterverfahrens überein, s. Kap. 4.2:

$$C_{mn} = \mathbf{n}_m \cdot \left( \mathbf{v}_{AB}(A_n, B_n, C_m) + \mathbf{v}_B(B_n, C_m) - \mathbf{v}_A(A_n, C_m) \right)$$

- Die Koeffizienten  $C_{ml}^W$  beschreiben den Beitrag des Nachlaufs des  $l$ -ten Wirbelstreifens zum Abwind am  $m$ -ten Kontrollpunkt:

$$C_{ml}^W = \int_0^{\infty} \mathbf{n}_m \cdot \mathbf{v}_{ml}(\xi) e^{-2ik\xi/c} d\xi$$

- Dabei ist  $\mathbf{v}_{ml}(\xi)$  die Geschwindigkeit, die von einem Hufeisenwirbel mit der Wirbelstärke 1, der von der Hinterkante den Abstand  $\xi$  hat, am  $m$ -ten Kontrollpunkt induziert wird.

## 3.1 Instationäres Wirbelgitterverfahren

---

- Mit den Gleichungen für den Hufeisenwirbel folgt nach längerer, aber elementarer Rechnung

$$C_{ml}^W = \mathbf{n}_m \cdot (\mathbf{v}_E - \mathbf{v}_D + \mathbf{v}_{DE})$$

mit

$$\mathbf{v}_Q(C) = \frac{1}{4\pi} \frac{\mathbf{e}_x \times \mathbf{r}_{QC}}{|\mathbf{e}_x \times \mathbf{r}_{QC}|^2} I_S(Q, C), \quad Q = D, E$$

$$\mathbf{v}_{DE}(C) = \frac{\mathbf{r}_{DC} \times \mathbf{r}_{EC}}{4\pi} I_{F1}(D, E, C) + \frac{\mathbf{e}_x \times \mathbf{r}_{DE}}{4\pi} I_{F2}(D, E, C)$$

## 3.1 Instationäres Wirbelgitterverfahren

---

- Die Größen  $I_S$ ,  $I_{F1}$  und  $I_{F2}$  sind definiert durch

$$I_S(Q, C) = \int_0^{\infty} \left( 1 + \frac{x_{QC} - c_{ref} s}{\sqrt{y_{QC}^2 + z_{QC}^2 + (x_{QC} - c_{ref} s)^2}} \right) e^{-2iks} ds$$

$$I_{F1}(D, E, C) = \int_0^{\infty} \frac{\beta(s)}{\alpha(s)} e^{-2iks} ds$$

$$I_{F2}(D, E, C) = \int_0^{\infty} \frac{c_{ref} s \beta(s)}{\alpha(s)} e^{-2iks} ds$$

$$\begin{aligned} \alpha(s) &= |\mathbf{r}_{AC} \times \mathbf{r}_{BC}|^2 \\ &= |\mathbf{r}_{DC} \times \mathbf{r}_{EC}|^2 + 2 c_{ref} s (\mathbf{r}_{DC} \times \mathbf{r}_{EC}) \cdot (\mathbf{e}_x \times \mathbf{r}_{DE}) + (c_{ref} s)^2 |\mathbf{e}_x \times \mathbf{r}_{DE}|^2 \end{aligned}$$



## 3.1 Instationäres Wirbelgitterverfahren

---

$$\beta(s) = \frac{\mathbf{r}_{AB} \cdot \mathbf{r}_{AC}}{|\mathbf{r}_{AC}|} - \frac{\mathbf{r}_{AB} \cdot \mathbf{r}_{BC}}{|\mathbf{r}_{BC}|}$$

$$= \frac{x_{DE} x_{DC} + y_{DE} y_{DC} + z_{DE} z_{DC} - x_{DE} c_{ref} s}{\sqrt{y_{DC}^2 + z_{DC}^2 + (x_{DC} - c_{ref} s)^2}}$$

$$- \frac{x_{DE} x_{EC} + y_{DE} y_{EC} + z_{DE} z_{EC} - x_{DE} c_{ref} s}{\sqrt{y_{EC}^2 + z_{EC}^2 + (x_{EC} - c_{ref} s)^2}}$$

- Die Integrale müssen numerisch berechnet werden.
- Eine detaillierte Beschreibung findet sich im Mefisto Theory Manual.

## 3.1 Instationäres Wirbelgitterverfahren

---

- Berechnung des Druckbeiwerts:
  - Wie bei der Methode der diskreten Wirbel gilt:

$$\Delta \hat{C}_{Pn} = \frac{2}{v_\infty} \left( \frac{\hat{\Gamma}_n}{x_{n+1} - x_n} + \frac{2ik}{c_{ref}} \sum_k \hat{\Gamma}_k \right), \quad 1 \leq n \leq N$$

- Die Summe erstreckt sich über alle Wirbel, die sich im entsprechenden Wirbelstreifen vor dem betrachteten Wirbel befinden.

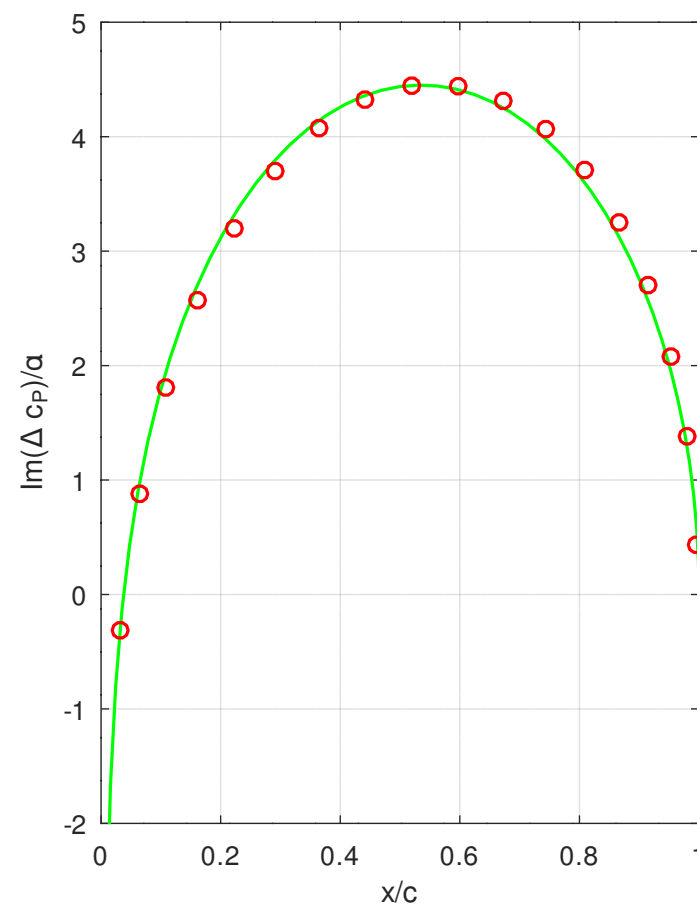
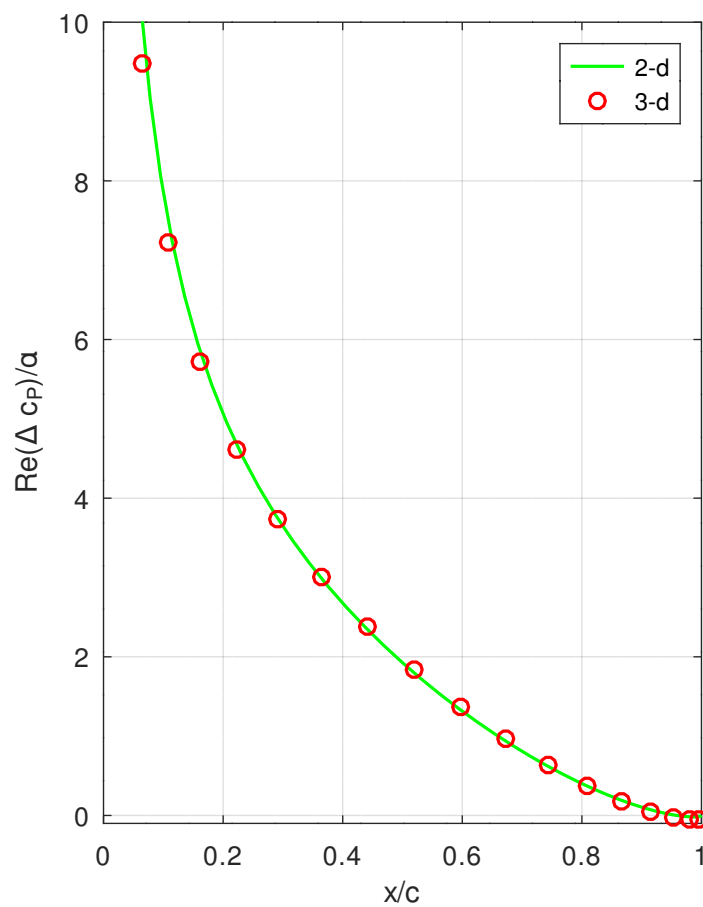
## 3.1 Instationäres Wirbelgitterverfahren

---

- Beispiel: Drehschwingung eines Rechteckflügels
  - Der Flügel führt eine Drehschwingung um die Viertelpunktlinie durch.
  - Daten:
    - Spannweite: 15 m
    - Flügeltiefe: 1 m
    - Reduzierte Frequenz: 0,6
- Wirbel in  $x$ -Richtung: 20
- Wirbel in  $y$ -Richtung: 45
- Der Druckbeiwert in der Mitte des Flügels sollte gut mit dem des unendlichen Flügels übereinstimmen.

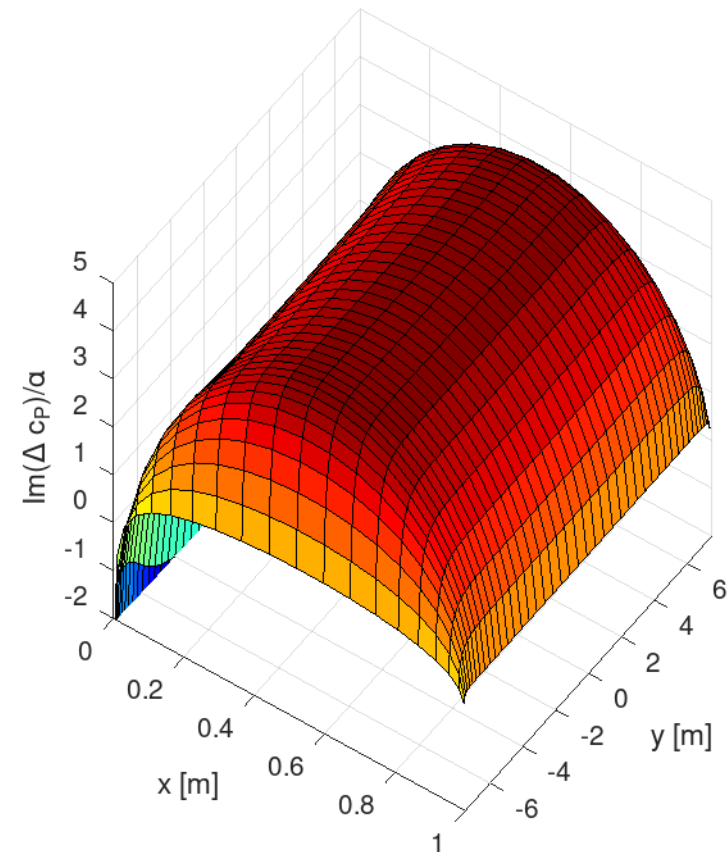
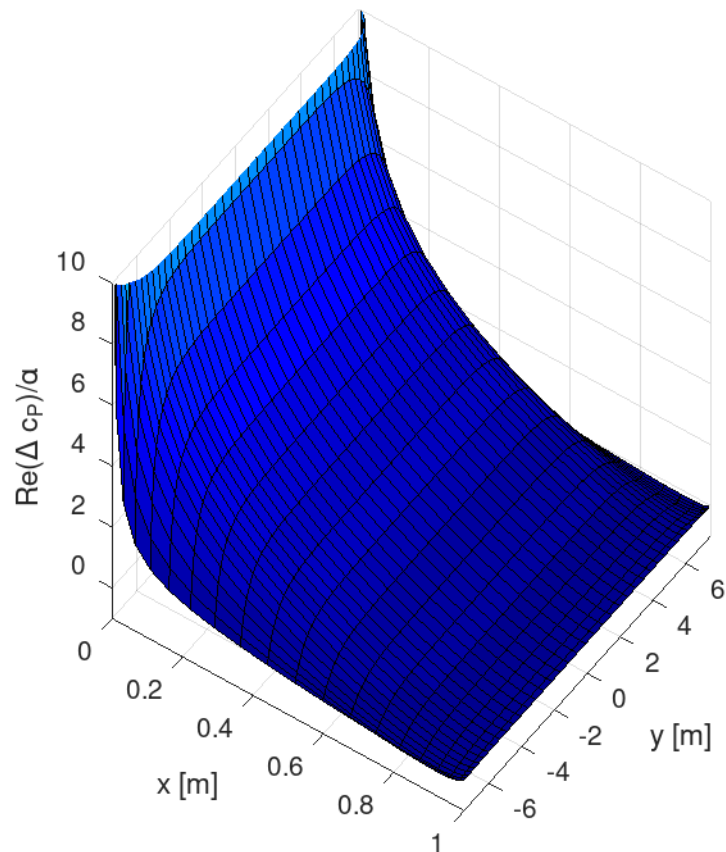
## 3.1 Instationäres Wirbelgitterverfahren

- Druckverteilung in der Mitte:



## 3.1 Instationäres Wirbelgitterverfahren

- Druckverteilung über den Flügel:



## 3.2 Dipolgitterverfahren

---

- Beim instationären Wirbelgitterverfahren muss über den gesamten Nachlauf integriert werden.
- Das Dipolgitterverfahren beruht auf einer Integralgleichung für die Druckdifferenz. Da die Druckdifferenz außerhalb der tragenden Fläche null ist, erstreckt sich die Integration nur über die tragende Fläche.
- Im Englischen wird diese Methode als Doublet-Lattice Method bezeichnet. Sie gilt als Standard-Methode der klassischen instationären Aeroelastik.

## 3.2 Dipolgitterverfahren

---

- Die Doublet-Lattice Method wurde von Albano und Rodden (1969) für kompressible Strömungen entwickelt.
- Im Folgenden wird das Grundprinzip der Methode anhand einer inkompressiblen Strömung um eine tragende Fläche in der  $xy$ -Ebene erläutert.
- Differenzialgleichung für den Druck:
  - Aus der Kelvin-Gleichung folgt:

$$\frac{p_\infty - p}{\rho} = \frac{\partial \Phi}{\partial t} + \frac{1}{2} (v^2 - v_\infty^2)$$

## 3.2 Dipolgitterverfahren

---

- Für eine kleine Störung einer stationären Parallelströmung folgt daraus durch Linearisierung:

$$\frac{p_\infty - p}{\rho} = \frac{\partial \phi}{\partial t} + v_\infty \frac{\partial \phi}{\partial x}$$

- Anwenden des Laplace-Operators auf beide Seiten der Gleichung ergibt

$$-\frac{1}{\rho} \nabla^2 p = \nabla^2 \left( \frac{\partial \phi}{\partial t} + v_\infty \frac{\partial \phi}{\partial x} \right) = \left( \frac{\partial}{\partial t} + v_\infty \frac{\partial}{\partial x} \right) \nabla^2 \phi = 0$$

d. h. der Druck erfüllt die Potentialgleichung

$$\nabla^2 p = 0$$



## 3.2 Dipolgitterverfahren

---

- Lösung der Potentialgleichung:
  - Die gesuchte Lösung muss auf der tragenden Fläche eine Unstetigkeit  $\Delta p = p_u - p_o$  haben. Die Ableitung in Richtung der Flächennormalen muss stetig sein.
  - In der Potentialtheorie wird gezeigt, dass das *Doppelschichtpotential*

$$p(x, y, z, t) = \frac{1}{4\pi} \int_S \Delta p(x_1, y_1, t) \frac{\partial}{\partial z_1} \left( \frac{1}{r_1} \right) dx_1 dy_1$$

mit  $r_1 = \sqrt{(x - x_1)^2 + (y - y_1)^2 + (z - z_1)^2}$

diese Bedingungen erfüllt. Die Integration erstreckt sich über die tragende Fläche.

## 3.2 Dipolgitterverfahren

---

- Für eine harmonische Schwingung gilt:

$$p(x, y, z, t) = \Re(\hat{p}(x, y, z) e^{i\omega t})$$

$$\Delta p(x_1, y_1, t) = \Re(\Delta \hat{p}(x_1, y_1) e^{i\omega t})$$

$$\hat{p}(x, y, z) = \frac{1}{4\pi} \int_S \Delta \hat{p}(x_1, y_1) \frac{\partial}{\partial z_1} \left( \frac{1}{r_1} \right) dx_1 dy_1$$

- Integralgleichung für die Druckdifferenz:

- Die Randbedingung für eine harmonische Schwingung lautet:

$$\frac{1}{v_\infty} \frac{\partial \hat{\phi}}{\partial z} = \frac{W_z}{v_\infty} = 2ik \frac{Z}{c} + \frac{\partial Z}{\partial x}$$

## 3.2 Dipolgitterverfahren

---

- Aus der linearisierten Kelvin-Gleichung

$$\hat{p} = \rho \left( i \omega \hat{\phi} + v_{\infty} \frac{\partial \hat{\phi}}{\partial x} \right) = \rho v_{\infty} \left( 2 i k \frac{\hat{\phi}}{c} + \frac{\partial \hat{\phi}}{\partial x} \right)$$

folgt mit der Methode der Variation der Konstanten:

$$\hat{\phi}(x, y, z) = \int_{-\infty}^x \frac{\hat{p}(\lambda, y, z)}{\rho v_{\infty}} e^{2 i k (\lambda - x) / c} d \lambda$$

- Einsetzen der Lösung für die Druckamplitude ergibt

$$\hat{\phi}(x, y, z) = \frac{1}{4 \pi} \int_{-\infty}^x \left( e^{2 i k (\lambda - x) / c} \int_S \frac{\Delta \hat{p}(x_1, y_1)}{\rho v_{\infty}} \frac{\partial}{\partial z_1} \left( \frac{1}{r(\lambda)} \right) dx_1 dy_1 \right) d \lambda$$

mit  $r(\lambda) = \sqrt{(\lambda - x_1)^2 + (y - y_1)^2 + (z - z_1)^2}$ .

## 3.2 Dipolgitterverfahren

---

- Ableiten nach  $z$  und Berücksichtigung der Randbedingung führt nach einiger Rechnung auf die Integralgleichung

$$\frac{W_z}{v_\infty} = \int_S \frac{\Delta \hat{p}(x_1, y_1)}{\rho v_\infty^2} K(x - x_1, y - y_1) dx_1 dy_1$$

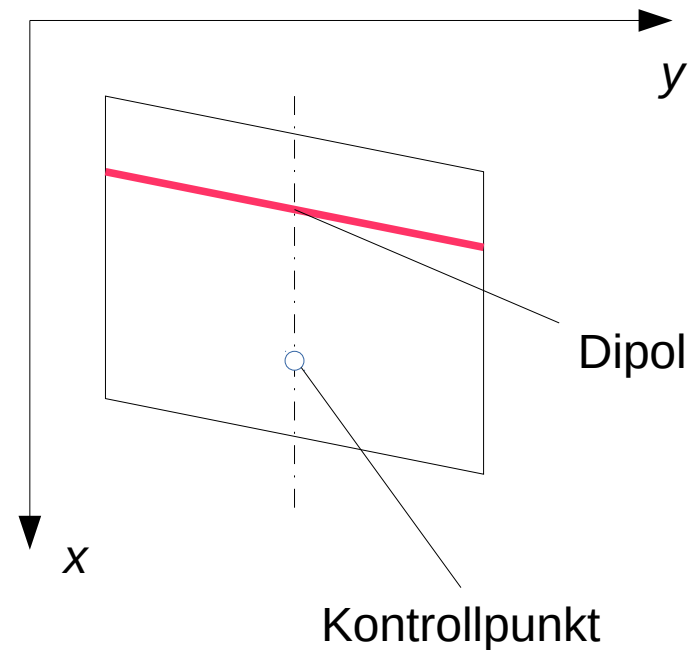
mit dem Kern

$$K(x - x_1, y - y_1) = \frac{e^{-2ik(x-x_1)/c}}{4\pi} \int_{-\infty}^{x-x_1} \frac{e^{2ik\xi/c} d\xi}{(\xi^2 + (y - y_1)^2)^{3/2}}$$

- Die Lösung dieser Integralgleichung wird eindeutig festgelegt durch die zusätzliche Forderung, dass der Druckunterschied an der Hinterkante null sein muss (Kutta-Bedingung).

## 3.2 Dipolgitterverfahren

- Berechnungsverfahren:
  - Die tragende Fläche wird wie beim Wirbelgitterverfahren in Trapeze zerlegt, deren parallele Kanten parallel zur  $x$ -Achse sind.
  - Entlang der Viertelpunktlinie eines jeden Trapezes wird eine konstante Dipolverteilung unbekannter Stärke aufgebracht.



## 3.2 Dipolgitterverfahren

---

- Die Dipolstärken werden so bestimmt, dass die Randbedingung in den Kontrollpunkten erfüllt ist, die sich in den Dreiviertelpunkten in der Mitte jedes Trapezes befinden.
- Numerische Experimente zeigen, dass auf diese Weise auch die Kutta-Bedingung erfüllt ist.